

طراحی افزاینده پایداری مقاوم H_{∞} با ضرایب بهینه ژنتیکی برای مدل چندورودی- چندخروجی بالگرد بدون سرنشین با دینامیک‌های وابسته

زهرا سلامتی، علیرضا فرجی و زهرا نجاتی

کم تحریک‌شده^۳، غیر خطی و دارای تأثیر کوپلینگ بین دینامیک‌ها است [۱]. در [۲] مدل دینامیکی بالگرد بدون سرنشین و کنترل تطبیقی روی آن نشان داده شده و در [۳] کنترل شبکه عصبی تطبیقی مقاوم به یک بالگرد بدون سرنشین در حضور اغتشاشات و عدم قطعیت‌ها اعمال شده است. یک روش کنترل ریدیابی بهینه در [۴] برای بالگرد بدون سرنشین کوچک پیشنهاد شده است. همچنین در [۵] کنترل فازی-PID-عصبی و فازی-PID استفاده شده است. در [۶] کنترل مدل غزشی مقاوم و روش LQR به یک بالگرد دو درجه آزادی اعمال شده است.

هدف اصلی این مقاله دکوپله‌سازی بالگرد بدون سرنشین از طریق طراحی فیلترهای مناسب و همچنین کنترل مقاوم و الگوریتم ژنتیک به منظور طراحی کنترل PI برای سیستم افزاینده پایداری (SAS) است. بر این اساس، در بخش ۲ مدل دینامیکی بالگرد توضیح داده شده است. در بخش ۳ طراحی فیلتر برای کاهش اثر کوپلینگ دینامیک‌ها ارائه شده است. همچنین این بخش کنترل H_{∞} و الگوریتم ژنتیک و طراحی کنترل PI با استفاده از ضرایب H_{∞} و بهینه‌سازی آن را با استفاده از الگوریتم ژنتیک بیان می‌کند. بخش ۴ نتایج شیوه‌سازی ارائه گردیده است. نهایتاً در بخش ۵ تیجه‌گیری بیان شده است.

۲- مدل دینامیکی بالگرد

معادلات حرکتی بالگرد با توجه به رابطه نیوتون-اویلر به صورت (۱) می‌باشد [۱]

$$\begin{bmatrix} mI_r & \cdot \\ \cdot & I \end{bmatrix} \begin{bmatrix} \dot{v}^B \\ \dot{w}^B \end{bmatrix} + \begin{bmatrix} w^B \times mv^B \\ w^B \times Iv^B \end{bmatrix} = \begin{bmatrix} f^B \\ \tau^B \end{bmatrix} \quad (1)$$

در این رابطه m جرم بالگرد بوده و v^B ، w^B و τ^B به ترتیب بردار سرعت خطی، سرعت زاویه‌ای، نیروها و گشتاورهای اعمالی به بالگرد در دستگاه مختصات بدنی می‌باشد. همچنین ماتریس اینرسی نیز در (۲) آمده است

$$I = \begin{bmatrix} I_{xx} & -I_{xy} & -I_{xz} \\ -I_{yx} & I_{yy} & -I_{yz} \\ -I_{zx} & -I_{zy} & I_{zz} \end{bmatrix} \quad (2)$$

وضعیت بالگرد یا زوایای اویلر غلتش^۴، پیچش^۵ و گردش نسبت به دستگاه مختصات زمین بیان می‌گردد و با $\psi^T \theta^T \varphi^T = [\varphi \ \theta \ \psi]$ نشان داده می‌شود. رابطه زوایای اویلر با سرعت‌های زوایه‌ای به صورت (۳) است

- 4. Underactuated
- 5. Roll
- 6. Pitch

چکیده: در این مقاله تلاش شده تا برای یک مدل چندورودی- چندخروجی (MIMO) بالگرد بدون سرنشین (HUAV)، سیستم افزاینده پایداری (SAS) مقاوم بهینه در مهار طراحی شود. این مدل در حالت حلقه باز، ناپایدار و زیر تحریک است و بین دینامیک‌های آن در کانال‌های رول، پیچ و یا وابستگی وجود دارد. در این مقاله با توجه به ویژگی خاص مدل، فیلترهایی با بهینه‌سازی باند مشخص در مسیر سیگنال‌های اعمالی به عملکرد حلقه‌های کنترلی در دینامیک‌ها در مدل حلقه بسته کاهش یافته و عملکرد حلقه‌های کنترلی در کانال‌های حرکت طولی، عرضی و سمت آن مجزا گردد. در این مقاله، SAS به صورت کنترل کننده‌های مقاوم روی مدل خطی طراحی می‌شود. بر این اساس، پس از مجازات‌مندن حلقه‌های عملکردی بالگرد در حالت حلقه بسته، ضرایب PI هر کanal به کمک مسئله کنترل مقاوم H_{∞} مدل شده و با الگوریتم ژنتیک به صورت بهینه محاسبه گردیده است. در نهایت شیوه‌سازی روی مدل غیر خطی نشان‌دهنده مقاوم بودن آن در برابر عدم قطعیت ناشی از خطی‌سازی مدل غیر خطی و اغتشاشات وارد شده به سیستم است.

کلیدواژه: بالگرد بدون سرنشین، سیستم افزاینده پایداری، مهار، طراحی کنترل کننده مقاوم بهینه، حذف وابستگی دینامیک‌ها.

۱- مقدمه

بالگردهای بدون سرنشین از جمله وسایل نقلیه هوایی بدون سرنشین UAV^۱ هستند و به دلیل قدرت مانورپذیری بالا و قابلیت فراز و فرود در مکان‌های مختلف کاربردهای بسیاری دارند و پایداری آنها از اهمیت ویژه‌ای برخوردار است. از این رو طراحی سیستم افزاینده پایداری (SAS) برای آن باعث کاهش قابل توجه اثرات اغتشاش و بهبود عملکرد آن می‌شود. پیکربندی اصلی بالگرد شامل دو روتور اصلی و دم است.

روتور اصلی نیروی لازم را برای حرکت عمودی بالگرد، تولید می‌کند و روتور دم گشتاور تولیدشده توسط روتور اصلی را جبران و زاویه گردش^۲ را کنترل می‌کند. مدل بالگرد دارای ویژگی‌های چندمتغیره، ناپایدار،

این مقاله در تاریخ ۵ فوریه ماه ۱۳۹۹ دریافت و در تاریخ ۲ آذر ماه ۱۳۹۹ بازنگری شد.

زهرا سلامتی، دانشکده مهندسی برق و کامپیوتر، دانشگاه کاشان، کاشان، ایران، (email: z.salamati5@gmail.com). علیرضا فرجی (نویسنده مسئول)، دانشکده مهندسی برق و کامپیوتر، دانشگاه کاشان، کاشان، ایران، (email: arfaraji@kashanu.ac.ir). زهرا نجاتی، دانشکده مهندسی برق و کامپیوتر، دانشگاه کاشان، کاشان، ایران، (email: nejati.zahra97@yahoo.com)

- 1. Unmanned Aerial Vehicle
- 2. Stability Augmentation System
- 3. Yaw

$$\begin{aligned}\theta &= +0.0008 \\ \varphi &= +0.0512 \\ a_{vf} &= -0.0008 \\ b_{vf} &= +0.0057 \\ d_{lon} &= -0.0029 \\ d_{lat} &= +0.0204 \\ d_c &= +0.0666 \\ d_p &= -0.1086\end{aligned}$$

بردار متغیرهای حالت سیستم و بردار ورودی‌ها به صورت (۶) است

$$\begin{aligned}X &= [u \ v \ b_{vf} \ w \ p \ q \ r \ \varphi \ \psi \ a_{vf}]^T \\ U &= [d_{lon} \ d_{lat} \ d_p \ d_c]\end{aligned}\quad (6)$$

لذا فضای حالت سیستم خطی به صورت ماتریس $A_{11 \times 11}$ و $B_{11 \times 4}$ به صورت زیر به دست می‌آید

$$\begin{aligned}A_{1,1} &= -0.81, \quad A_{1,11} = -0.4656, \quad A_{2,2} = 0.4656 \\ A_{2,1} &= 0.7971, \quad A_{2,9} = -4.01 \times 10^{-4}, \quad A_{2,3} = -0.139 \\ A_{3,1} &= -1, \quad A_{3,8} = -0.502, \quad A_{4,9} = -0.00783 \\ A_{4,1} &= 3.03 \times 10^{-1}, \quad A_{4,11} = 0.7303, \quad A_{5,5} = 1 \\ A_{5,6} &= 3.27 \times 10^{-4}, \quad A_{6,7} = 0.98 \times 10^{-4}, \quad A_{6,6} = 0.9986 \\ A_{7,7} &= -0.0511, \quad A_{7,6} = 0.05117, \quad A_{7,1} = 0.9986 \\ A_{8,1} &= -0.999, \quad A_{8,11} = -0.14\end{aligned}$$

سایر پارامترهای $A_{i,j}$ در ماتریس A برابر با صفر است

$$\begin{aligned}B_{1,1} &= -0.8816, \quad B_{1,4} = 0.0335, \quad B_{2,2} = 0.8816 \\ B_{2,3} &= -0.4646, \quad B_{2,4} = 0.1670, \quad B_{3,2} = 2 \\ B_{4,4} &= -0.84, \quad B_{5,2} = 0.132, \quad B_{5,3} = -0.27765 \\ B_{5,4} &= 0.461, \quad B_{6,1} = 0.9586, \quad B_{6,3} = 0.2379 \\ B_{6,4} &= -0.695, \quad B_{7,2} = 0.2225, \quad B_{7,3} = -0.15266 \\ B_{8,1} &= 2\end{aligned}$$

سایر پارامترهای $B_{i,j}$ در ماتریس B برابر با صفر است.

۲-۲ حسگرهای حلقه SAS

استفاده از حسگرهای ژیروسکوپ نرخی که سرعت‌های زاویه‌ای را اندازه‌گیری می‌کنند در حلقه SAS بالگردها متدائل است. در برخی ژیروسکوپ‌های نرخی بالگردات کوچک، کنترل کننده PI برای حذف اغتشاش وجود دارد و بنابراین در این مقاله هم کنترل کننده PI برای آن استفاده شده است. دینامیک ژیروسکوپ‌ها مانند فیلتر پایین گذر عمل می‌کند و فرکانس قطع آنها نسبت به پهنهای باند سیستم بزرگ است، لذا در محدوده پهنهای باند سیستم می‌توان از دینامیک آنها صرف نظر کرد و ژیروسکوپ‌ها را با یک بهره واحد مدل کرد [۸] تا [۱۲].

۳- طراحی کنترل کننده

در این بخش، ابتدا حذف اثر کوپلینگ طراحی گردیده است و سپس با استفاده از کنترل مقاوم و الگوریتم ژنتیک به طراحی کنترل کننده می‌پردازیم.

$$\dot{\Theta} = \Psi(\Theta)w^B$$

$$\Psi(\Theta) = \begin{bmatrix} 1 & \sin \varphi \tan \theta & \cos \varphi \tan \theta \\ 0 & \cos \varphi & -\sin \varphi \\ 0 & \frac{\sin \varphi}{\cos \theta} & \frac{\cos \varphi}{\cos \theta} \end{bmatrix} \quad (3)$$

۱- نیروها و گشتاورهای اعمال شده به بالگرد

نیروها و گشتاورهای توابع غیر خطی از مشخصات حرکتی و ورودی‌ها هستند. پره‌ها در حال چرخش، حرکت بال‌زنی و پیچش دارند و این حرکات درجهات آزادی پره‌های روتور را ایجاد می‌کنند [۷] و [۸]. بردار ورودی کنترل به صورت $u_c = [d_{lon} \ d_{lat} \ d_{ped} \ d_{col}]$ تعریف می‌شود که d_{ped} و d_{col} به ترتیب ورودی کلکتیو روتور اصلی و پدال برای روتور دم هستند. ورودی کلکتیو و پدال، به ترتیب مقدار نیروی بالابرندۀ را در روتور اصلی و روتور دم کنترل می‌کند. دینامیک بال‌زنی پره‌های روتور اصلی با ورودی‌های تناوبی d_{lat} و d_{lon} کنترل می‌شود [۸] و [۹].

در این مقاله مدل غیر خطی در مد هاوار بالگرد بدون سرنشین به نام ANCL^۵ استفاده شده است. در بسیاری از بالگردهای کنترل از راه دور از تیغه‌های پایدارساز فلاپیار استفاده می‌شود تا سرعت فلپینگ را کم کند و خلبان بتواند بالگرد را راحت‌تر کنترل کند. لذا از دینامیک فلاپینگ روتور اصلی صرف نظر شده و به صورت رابطه استاتیکی (۴) بیان گردیده و دینامیک فلاپیار از مراجع مطابق (۵) در نظر گرفته شده است [۱۰] و [۱۱]

$$\begin{aligned}b_1 &= K_B d_{lat} + K_F b_{vf} \\ a_1 &= K_B d_{lon} + K_F a_{vf}\end{aligned}\quad (4)$$

که a_1 و b_1 به ترتیب زاویه دیسک پره‌های روتور اصلی با محور طولی و عرضی هستند و همچنین a_{vf} و b_{vf} به ترتیب زاویه دیسک فلاپیار با محور طولی و عرضی هستند. معادلات دینامیکی فلاپینگ در فلاپیار به صورت زیر تعریف می‌شود [۱۲]

$$\begin{aligned}\tau_f \dot{a}_{vf} + a_{vf} &= -\tau_f q + K_H d_{lon} \\ \tau_f \dot{b}_{vf} + b_{vf} &= -\tau_f p + K_H d_{lat}\end{aligned}\quad (5)$$

نیروها و گشتاورهای حاصل از روتور اصلی و روتور دم، معادلات غیر خطی بالگرد ANCL و ضرایب آن از [۱۲] گرفته شده است. سپس خطی‌سازی مدل هاوار حول نقطه تعادل سیستم از روش اختلال کوچک^۶ به دست می‌آید. نقاط تعادل با صفر قرار دادن مشتقات در معادلات غیر خطی حاصل می‌شوند. در حالت هاوار سرعت‌های زاویه‌ای و خطی برابر با صفر بوده و نقاط تعادل سیستم به صورت زیر به دست می‌آیند

1. Collective Input
2. Pedal Input
3. Longitudinal Cyclic Input
4. Lateral Cyclic Input
5. The University of Alberta's Applied Nonlinear Controls Lab (ANCL) Helicopter
6. Small Perturbation

سیستم خطی طراحی و بر روی سیستم غیر خطی اعمال خواهد شد. کنترل کننده H_∞ یک روش مقاوم است که استفاده از آن برای سیستم‌های خطی امکان‌پذیر است. با توجه به شکل ۱،تابع تبدیل خطا به ورودی مرجع به صورت $e = (I + GK)^{-1} e/r = e/r$ است که تابع حساسیت S شناخته می‌شود. برای این که خطای سیستم در پهنهای باند مطلوب سیستم حلقه بسته کمینه شود باید تابع حساسیت در آن کمینه شود. تابع تبدیل $(I + GK)^{-1} e/r = K(I + GK)^{-1} u = K(I + GK)^{-1} u/r$ که با R نشان داده می‌شود می‌تواند به گونه‌ای باشد که در محدوده فرکانسی دلخواه انرژی سیگنال خروجی کنترل کننده را محدود کند. تابع تبدیل خروجی سیستم به ورودی مرجع نیز $y = GK(I + GK)^{-1} e/r = GK(I + GK)^{-1} u/r$ است که با T مشخص می‌شود که نزدیک بودن اندازه آن به مقدار یک در محدوده فرکانسی خاص می‌تواند به معنی توانمندی ردیابی خروجی از ورودی در سیستم حلقه بسته در آن محدوده باشد. هدف کنترل مقاوم H_∞ تأمین هم‌زمان اهداف فوق توسط توابع S و T در محدوده‌های فرکانسی خاص مربوط به هر یک است که با توابع وزنی ضرب شده W_s ، W_r و W_p مشخص می‌شود و به عبارت دیگر با این روش می‌توان بین اهداف فوق مصالحه کرد. لذا کنترل کننده مقاوم K به نحوی طراحی می‌شود که تابع هزینه $\|W_s S + W_r R + W_p T\|_\infty$ کمینه شود [۱۵] تا [۱۷].

با توجه به شکل ۱، اغتشاش واردشده به سیستم می‌باشد و چون هدف طراحی SAS در بالگرد فقط کاهش اثر اغتشاش بر روی خروجی سیستم است، پس اگر بخواهیم تأثیر اغتشاش در خروجی کم شود باید اندازه $(I + GK)^{-1}$ یا همان تابع S در محدوده فرکانسی پایین‌گذر سیستم کمینه شود.

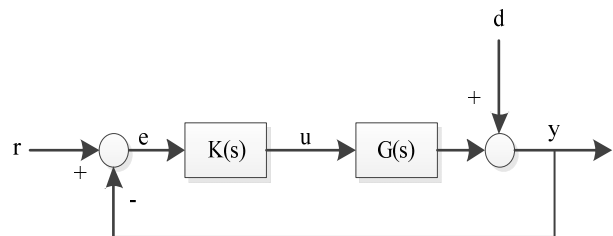
۳-۳ الگوریتم ژنتیک

الگوریتم ژنتیک یک روش بهینه‌سازی الهام‌گرفته از طبیعت جاندار است. این الگوریتم در مسائل متعددی نظیر بهینه‌سازی، شناسایی و کنترل سیستم وغیره به کار می‌رود. دو عملگر مهم که در الگوریتم ژنتیک مورد استفاده قرار می‌گیرند عبارت هستند از ترکیب و جهش که دارای روش‌های محاسبه متفاوتی هستند. مهم‌ترین عملگر در الگوریتم ژنتیک، عملگر ترکیب است. ترکیب فرایندی است که در آن نسل قدیمی کروموزومها با یکدیگر مخلوط و ترکیب می‌شوند تا نسل تازه‌ای از کروموزومها به وجود بیاید. جفت‌هایی که در قسمت انتخاب به عنوان والدین در نظر گرفته شدن در این قسمت زن‌هایشان را با هم مبادله می‌کنند و اعضای جدید به وجود می‌آورند. ترکیب در الگوریتم ژنتیک باعث از بین رفن پراکنده یا تنوع ژنتیکی جمعیت می‌شود زیرا اجازه می‌دهد زن‌های خوب یکدیگر را بیابند.

جهش نیز عملگر دیگری هست که جواب‌های ممکن دیگری را متولد می‌کند. در الگوریتم ژنتیک بعد از این که یک عضو در جمعیت جدید به وجود آمد هر زن آن با احتمال جهش روبرو است. در جهش ممکن است زنی از مجموعه زن‌های جمعیت حذف شود یا زنی که تا به حال در جمعیت وجود نداشته است به آن اختلاف شود یا تغییراتی در آن ایجاد شود. در واقع جهش یک زن به معنای تغییر آن زن است [۱۸] تا [۲۰].

۴-۳ طراحی کنترل کننده PI با ضرایب مقاوم H_∞ و بهینه‌سازی با الگوریتم ژنتیک

کنترل کننده متعارف برای SAS بالگردهای کوچک، کنترل کننده PI است. لذا ماتریس کنترل کننده K به صورت رابطه زیر تعریف می‌شود



شکل ۱: دیاگرام معمولی حلقه بسته یک سیستم متعارف.

۱-۳ طراحی فیلتر جهت کاهش اثر کوپلینگ دینامیک‌ها

سیستم افزاینده پایداری SAS باعث پایداری بالگرد در برابر اغتشاشات می‌شود. ورودی این سیستم سرعت‌های زاویه‌ای (p, q, r) و خروجی آن همان ورودی‌های d_{lon} ، d_{lat} و d_{ped} است که باید کنترل شوند [۱۳] و [۱۴]. رابطه (۷) ماتریس تابع تبدیل مدل خطی بالگرد در مدد هاور است که نشان می‌دهد فقط ورودی سوم روی همه خروجی‌ها تأثیرگذار است و دو ورودی دیگر به ترتیب فقط روی خروجی اول و دوم به طور مجزا تأثیرگذار هستند

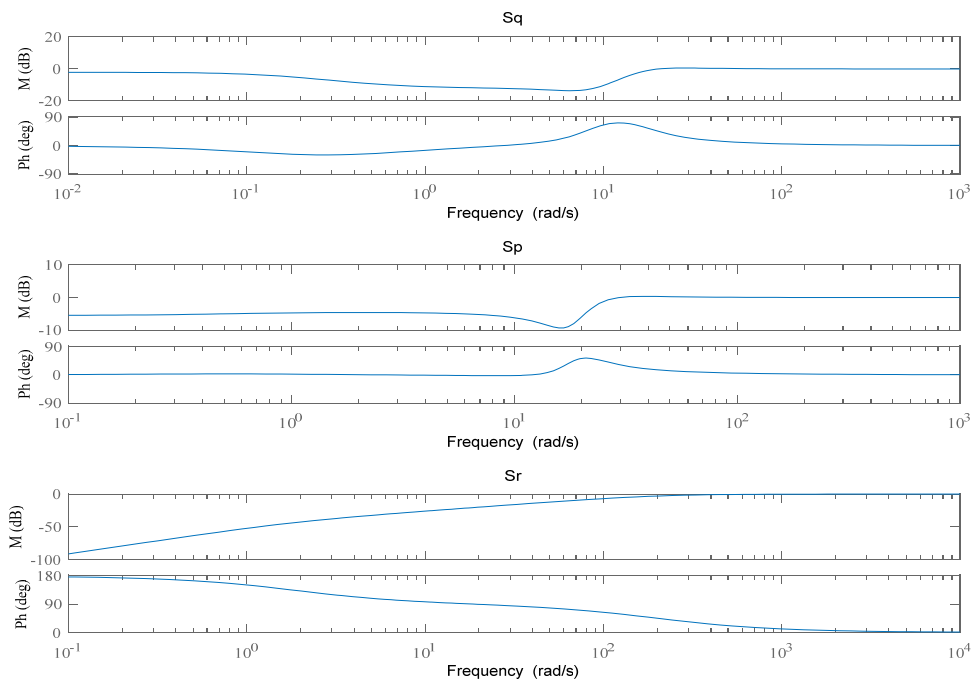
$$H(S) = \begin{bmatrix} \frac{q}{d_{lon}} & \cdot & \frac{q}{d_{ped}} \\ \cdot & \frac{p}{d_{lat}} & \frac{p}{d_{ped}} \\ \cdot & \cdot & \frac{r}{d_{ped}} \end{bmatrix} \quad (7)$$

با توجه به ویژگی خاص این سیستم، اگر بتوانیم در خروجی‌های این تابع تبدیل که همان مسیر اعمال سیگنال به عملگرها است فیلترهایی طراحی نماییم که اثر ورودی سوم را بر خروجی‌های اول و دوم تا حد مطلوبی کاهش دهد در واقع این سیستم در حالت حلقه بسته مانند سه حلقه مجزا عمل خواهد کرد. با توجه به بررسی پهنهای باند هر یک از توابع تبدیل ماتریس فوق ملاحظه شد که خوب‌بختانه فرکانس سیگنال‌های کوپلینگ که نامطلوب محاسبه شود نسبت به فرکانس‌های مطلوب در خروجی اول و دوم بیشتر بوده و با قراردادن یک فیلتر پایین‌گذر با فرکانس قطع مشخص در مسیر هر یک از آنها می‌توان سیگنال‌های کوپلینگ را فیلتر نمود.

فرکانس قطع q/d_{ped} برابر با 12 rad/s و q/d_{ped} برابر با $18/5 \text{ rad/s}$ می‌باشد. در نتیجه در خروجی q فیلتر $q/(s+12)$ مناسب است تا تقریباً اثر ورودی پدال بر روی عملگر d_{lon} حذف شود. همچنین فرکانس قطع p/d_{lat} برابر با $32/6 \text{ rad/s}$ و p/d_{ped} برابر با $32/6 \text{ rad/s}$ است و بنابراین فیلتر $p/(s+32/6)$ برای خروجی کنترل کننده مربوط به p انتخاب شد تا اثر d_{ped} روی p قبل صرف نظر باشد.

۲-۳ طراحی کنترل کننده مقاوم H_∞

به دلیل وجود عدم قطعیت‌های سیستم و برای این که کنترل کننده طراحی شده روی سیستم غیر خطی نیز جواب دهد نیاز به طراحی یک کنترل کننده مقاوم است. خطی‌کردن سیستم می‌تواند به عنوان اضافه کردن عدم قطعیت به مدل غیر خطی تلقی شود. همان‌طور که در بخش ۱-۳ این مقاله اشاره شد، کنترل کننده‌ای که انتخاب می‌شود PI است که پایه‌سازی آن در عمل نیز آسان می‌باشد. این کنترل کننده بر اساس

شکل ۲: توابع حساسیت q , p و r .

برای به دست آوردن ضرایب بهینه کنترل کننده های PI که بتوانند تابع $\|W_S\|_\infty$ را کمینه کنند می توان از الگوریتم ژنتیک استفاده کرد. الگوریتم ژنتیک ابتدا با مقادیر اولیه تصادفی شروع می کند و سپس با استفاده از عملگرهای ترکیب و جهش مقادیر جدیدی از پارامترهای مجهول را ایجاد می کند و در تابع هزینه قرار می دهد و در نهایت بهترین جواب یعنی ضرایب PI را که بتواند تابع هزینه را به کمترین مقدار برساند انتخاب می کند. در اینجا ۶ پارامتر مجهول وجود دارد که ضرایب PI هستند و تعداد جمعیت اولیه ۵۰ انتخاب می شود. در نهایت مقادیر بهینه ضرایب PI به صورت جدول ۱ به دست می آیند.

۴- نتایج شبیه سازی طراحی SAS

از آنجا که در مدار هاور بالگرد، ورودی کلکتیو تغییر نمی کند لذا در طراحی SAS در نظر گرفته نشده است. در شکل ۲ اندازه و فاز نمودار بود توابع حساسیت سه حلقه بسته سیستم که مجزا فرض شدند، رسم شده که اندازه کوچک آنها در پهنهای باند مشخص، نشان دهنده تضییف اغتشاش توسط توابع حساسیت در آن باند می باشد.

شکل ۳ مدل شبیه سازی سیستم همراه با کنترل کننده SAS را نشان می دهد. اغتشاشات به خروجی های سیستم به ترتیب به سرعت زاویه ای پیچش، غلتش و گردش وارد می شود که در شکل ۴ نشان داده شده است. کنترل کننده بر روی مدل خطی نتایج مطلوبی داشت که برای اختصار نتایج آن نیامده است، اما برای اطمینان از عملکرد مطلوب آن در شکل ۵ نتایج شبیه سازی سیستم برای حذف اغتشاشات در مدل غیر خطی مدار هاور نشان داده شده که نشان دهنده عملکرد مناسب کنترل کننده در حذف اغتشاشات و توانایی مقابله با عدم قطعیت تاشی از خطی سازی مدل است. در شکل ۶ بردارهای ورودی کنترل رسم شده اند. با توجه به شکل، اندازه و هموار بودن ورودی های کنترل و پهنهای باند مناسب این کنترل کننده برای پیاده سازی های عملی مناسب می باشد.

۵- نتیجه گیری

در ابتدا معادلات غیر خطی در حالت هاور بالگرد ANCL بررسی و

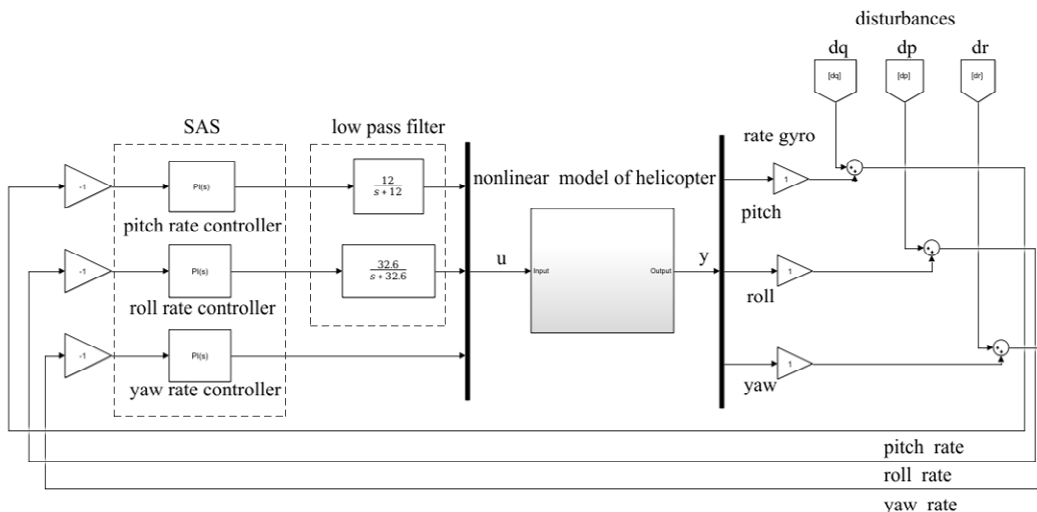
جدول ۱: ضرایب PI کنترل کننده SAS

کانال ها	ضرایب P	ضرایب I
کanal پیچش	۰.۲۵۲۷	۱.۰۹۴۸
کanal غلتش	۰.۱۳۶۵	۱.۶۲۵۷
کanal گردش	۰.۳۴۶۱	۰.۳۹۳۸

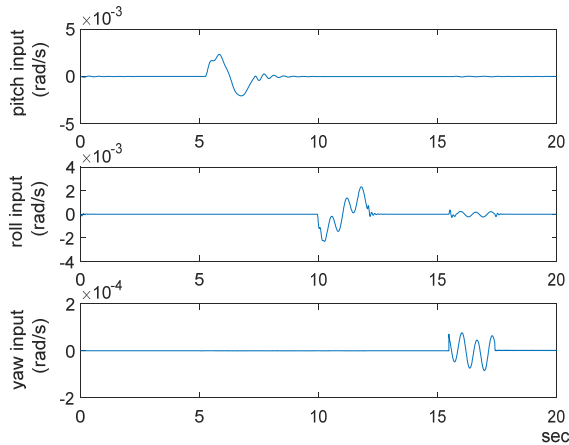
$$\begin{aligned} K_1 &= k_{p1} + \frac{k_{I1}}{s} \\ K_2 &= k_{p2} + \frac{k_{I2}}{s} \\ K_3 &= k_{p3} + \frac{k_{I3}}{s} \\ K = \begin{bmatrix} K_1 & & \\ & \ddots & \\ & & K_3 \end{bmatrix} \end{aligned} \quad (8)$$

هدف در SAS حذف اغتشاشات است، پس فقط کمینه سازی s در پهنهای باند سیستم بالگرد برای طراحی مقاوم کافی است. در نتیجه تابع هزینه به صورت $\|W_S\|_\infty$ تعریف می شود و با توجه به این که به کمک فیلترهای به کار گرفته شده، سیستم حلقه بسته مانند سه حلقه کنترلی مجزا عمل می کند، بنابراین ماتریس تابع وزنی W با توجه به پهنهای باند عملکردی هر حلقه به صورت مجزا طبق روابط زیر انتخاب می شود

$$\begin{aligned} w_q &= \frac{12}{s+12} \\ w_p &= \frac{32,6}{s+32,6} \\ w_r &= \frac{50}{s+50} \\ W = \begin{bmatrix} w_q & & \\ & w_p & \\ & & w_r \end{bmatrix} \end{aligned} \quad (9)$$



شکل ۳: شبیه‌سازی سیستم همراه با SAS.

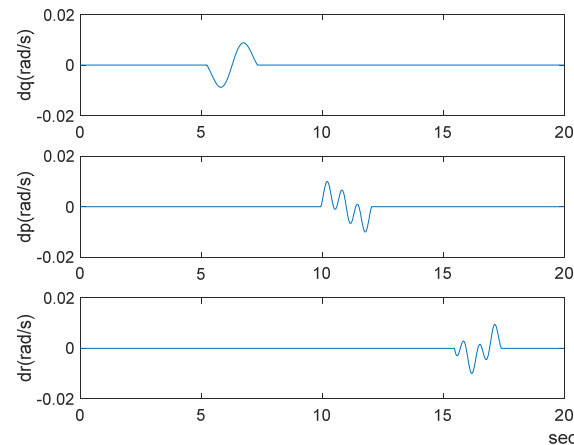


شکل ۴: بردارهای کنترلی مربوط به کانال‌های پیچش، غلتش و گردش.

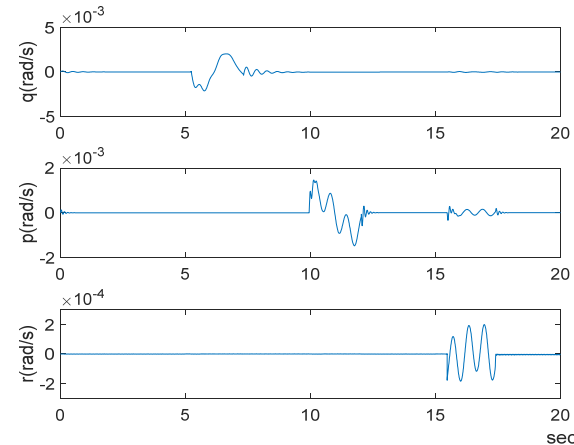
SISO فرض کرد. سپس برای طراحی SAS برای سه مدار SISO مدل خطی، از کنترل‌کننده متداول PI استفاده شد که ضرایب آن با استفاده از تابع حساسیت سیستم حلقه بسته در روش H_∞ طراحی شده و با کمک الگوریتم ژنتیک بهینه شد. SAS طراحی شده روی مدل سیستم غیر خطی تست شد که در برابر اغتشاشات و عدم قطعیت ناشی از خطی‌سازی مدل غیر خطی سیستم مقاوم بود.

مراجع

- [1] I. A. Raptis and K. P. Valavanis, Linear and Nonlinear Control of Small Scale Unmanned Helicopters, Springer Science & Business Media, 2011.
- [2] Y. Kang, S. Chen, X. Wang, and Y. Cao, "Deep convolutional identifier for dynamic modeling and adaptive control of unmanned helicopter," *IEEE Trans. on Neural Networks and Learning Systems*, vol. 30, no. 2, pp. 524-538, Jul. 2018.
- [3] A. Razzaghian and R. Kardehi Moghaddam, "Robust adaptive neural network control of miniature unmanned helicopter," in *Proc. Iranian Conf. on Proc. Electrical Engineering, ICSEE'18*, pp. 801-805, Mashhad, Iran, 8-10 May 2018.
- [4] Y. Shang and T. Lu, "Optimal tracking control of mini unmanned helicopter based iterative approximating," in *Proc. IEEE 3rd Information Technology, Networking, Electronic and Automation Control Conf., ITNEC'19*, pp. 81-87, Chengdu, China, 15-17 Mar. 2019.
- [5] R. Singh and B. Bhushan, "Adaptive neuro-fuzzy-PID and fuzzy-PID-based controller design for helicopter system," *Applications of Computing, Automation and Wireless Systems in Electrical Engineering*, vol. 553, pp. 281-293, Jun. 2019.



شکل ۵: اغتشاشات واردشده به کانال‌های پیچش، غلتش و گردش.



شکل ۶: سرعت‌های زاویه‌ای پیچش، غلتش و گردش سیستم غیر خطی در حضور اغتشاشات شکل ۴

حول نقطه تعادل هاور خطی شدند. این معادلات MIMO کم تحریک شده و دارای اثر کوپلینگ بین دینامیک‌ها بود. برای حذف اثر کوپلینگ دینامیک‌ها روی یکدیگر، با توجه به شرایط خاص این مدل، فیلتر پایین‌گذر در ورودی عملگرها طراحی و قرار داده شد به گونه‌ای که در سیستم حلقه بسته اثر ورودی سوم که در حالت حلقه باز روی دو خروجی اول و سوم سیستم به شدت تأثیرگذار بود در حالت حلقه بسته تقریباً حذف شد، به طوری که مدار حلقه بسته MIMO را بتوان به صورت سه مدار

- Engineering, ELECO'15*, pp. 801-805, Bursa, Turkey, 26-28 Nov. 2015.
- [17] I. B. Tijani, R. Akmeliawati, A. Legowo, and A. Budiyono, "Optimization of an extended H-infinity controller for unmanned helicopter control using multiobjective differential evolution (MODE)," *International J. of Aircraft Engineering and Aerospace Technology*, vol. 87, no. 4, pp. 330-344, Jul. 2015.
- [18] J. D. Arantes, M. D. Arantes, C. F. M. Toledo, O. T. Junior, and B. C. Williams, "An embedded system architecture based on genetic algorithms for mission and safety planning with UAV," in *Proc. of the Genetic and Evolutionary Computation Conf., GECCO'17*, pp. 1049-1056, Berlin, German, 15-19 Jul. 2017.
- [19] A. Abaspour, S. H. Sadati, and M. Sadeghi, "Nonlinear optimized adaptive trajectory control of helicopter," *J. of Control Theory and Technology*, vol. 13, no. 4, pp. 297-310, Nov. 2015.
- [20] J. Velagic and N. Osmic, "Fuzzy-genetic identification and control structures for nonlinear helicopter model," *J. of Intelligent Automation & Soft Computing*, vol. 19, no. 1, pp. 51-68, Feb. 2013.
- زهرا سلامتی فارغ‌التحصیل کارشناسی ارشد مهندسی برق- کنترل از دانشگاه کاشان در سال ۱۳۹۸ می‌باشد.**
- علیرضا فرجی عضو هیأت علمی گروه مهندسی برق- کنترل دانشکده مهندسی برق دانشگاه کاشان در مرتبه استادیاری می‌باشد. زمینه‌های علمی مورد علاقه وی شامل تشخیص و شناسایی عیب، کنترل تحمل پذیر عیب در زمینه وسایل نقلیه بدون سرنشین، کنترل غیر خطی و فازی و شبکه‌های عصبی است.**
- زهرا نجاتی دانشجوی دکتری دانشگاه کاشان در زشته مهندسی برق- کنترل می‌باشد. زمینه‌های تحقیقاتی وی شامل تشخیص و شناسایی عیب و کنترل تحمل پذیر عیب در زمینه وسایل نقلیه بدون سرنشین از جمله بالگردهای بدون سرنشین است.**
- [6] W. Boukadida, A. Benamor, H. Messaoud, and P. Siarry, "Multi-objective design of optimal higher order sliding mode control for robust tracking of 2-DoF helicopter system based on metaheuristics," *Aerospace Science and Technology*, vol. 91, pp. 442-455, Aug. 2019.
- [7] J. H. Williams, *Fundamentals of Applied Dynamics*, New York: Wiley, 1996.
- [8] B. Mettler, *Identification Modeling and Characteristics of Miniature Rotorcraft*, Kluwer Academic Publishers, Norwell, 2003.
- [9] J. Alvarenga, N. I. Vitzilaios, K. P. Valavanis, and M. J. Rutherford, "Survey of unmanned helicopter model based navigation and control techniques," *J. of Intelligent & Robotic Systems*, vol. 80, no. 1, pp. 87-138, Oct. 2015.
- [10] A. Faraji, Z. Nejati, and M. Abedi, "Actuator faults estimation for a helicopter UAV in the presence of disturbances," *J. of Control, Automation and Electrical Systems*, vol. 31, no. 5, pp. 1153-1164, Oct. 2020.
- [11] M. Barczyk, Nonlinear State Estimation and Modeling of a Helicopter UAV, Ph. D. Thesis, University of Alberta, 2012.
- [12] G. Wang, J. Zhu, and C. Yang, "System identification for helicopter yaw dynamic modelling," in *Proc. IEEE 3rd Int. Conf. on Computer Research and Development*, pp. 54-57, Shanghai, China, 11-13 Mar. 2011.
- [13] J. Hu and H. Gu, "Survey on flight control technology for large-scale helicopter," *International J. of Aerospace Engineering*, vol. 20, no. 5, pp. 1-14, Feb. 2017.
- [14] S. Sheng and C. Sun, "Design of a stability augmentation system for an unmanned helicopter based on adaptive control techniques," *J. of Applied Sciences*, vol. 5, no. 3, pp. 575-586, Sept. 2015.
- [15] M. R. Kafi, H. Chaoui, S. Miah, and A. Debilou, "Local model networks based mixed-sensitivity H-infinity control of CE-150 helicopters," *J. of Control Theory and Technology*, vol. 15, no. 1, pp. 34-44, Feb. 2017.
- [16] M. Sever, G. Goktas, H. Yazici, and I. B. Kucukdemiral, "Linear matrix inequalities based state feedback and reference feedforward actuator saturated H-infinity control of small-scale unmanned helicopter," in *Proc. 9th Int. Conf. on Electrical and Electronics*